



Biomédica

ISSN: 0120-4157

biomedica@ins.gov.co

Instituto Nacional de Salud

Colombia

Chaves, Diego; Sandoval, Andrea; Rodríguez, Luis; García, Juan C.; Restrepo, Silvia; Zambrano, María Mercedes

Análisis comparativo de seis genomas del complejo Mycobacterium tuberculosis

Biomédica, vol. 30, núm. 1, 2010, pp. 23-31

Instituto Nacional de Salud

Bogotá, Colombia

Disponible en: <http://www.redalyc.org/articulo.oa?id=84312378004>

- ▶ Cómo citar el artículo
- ▶ Número completo
- ▶ Más información del artículo
- ▶ Página de la revista en redalyc.org

redalyc.org

Sistema de Información Científica

Red de Revistas Científicas de América Latina, el Caribe, España y Portugal
Proyecto académico sin fines de lucro, desarrollado bajo la iniciativa de acceso abierto

ARTÍCULO ORIGINAL

Análisis comparativo de seis genomas del complejo *Mycobacterium tuberculosis*

Diego Chaves¹, Andrea Sandoval², Luis Rodríguez¹, Juan C. García²,
Silvia Restrepo¹, María Mercedes Zambrano²

¹ Laboratorio de Micología y Fitopatología, Facultad de Ciencias, Universidad de los Andes, Bogotá, D.C., Colombia

² Grupo de Genética Molecular, Corporación Corpogen, Bogotá, D.C., Colombia

Introducción. El creciente número de genomas secuenciados pertenecientes al complejo *Mycobacterium tuberculosis* hace posible la comparación y el análisis genómico, que puede revelar importantes mecanismos de evolución y variación para entender la patogénesis de esta especie.

Objetivo. Mediante el uso de alineamientos múltiples se pretendió analizar las diferencias entre seis genomas del complejo *M. tuberculosis*, para encontrar regiones de variación que conduzcan a mejoras en la identificación de estas especies o en el tratamiento.

Materiales y métodos. Mediante el programa bioinformático Mauve, se realizaron alineamientos múltiples de seis genomas pertenecientes a especies del complejo *M. tuberculosis*. Las regiones genómicas exclusivas para cada genoma se anotaron usando la base de datos *Tuberculosis Database*.

Resultados. El porcentaje de similitud entre los seis genomas analizados estuvo entre 96,1% y 97,8%. La anotación de las regiones exclusivas reveló la presencia de elementos de transposición, familias de proteínas PPE y PE-PGRS, regiones asociadas a resistencia contra bacteriófagos y regiones intergénicas.

Conclusiones. A pesar de la gran similitud entre las cepas analizadas, existen variaciones entre ellas que pueden ser importantes para entender diferencias en comportamiento y virulencia, así como para mejorar los diagnósticos de cepas específicas. Regiones como aquéllas con genes para proteínas de membrana, posiblemente, relacionadas con la variación y la respuesta antigenica, son de particular interés para estudios futuros orientados a buscar tratamientos nuevos para el control de esta enfermedad.

Palabras clave: *Mycobacterium tuberculosis*, genómica, tuberculosis.

Comparative analysis of six *Mycobacterium tuberculosis* complex genomes

Introduction. A growing number of sequenced genomes belonging to the *Mycobacterium tuberculosis* complex has enabled a comparison of strain traits and genomic constitution. These analyses may reveal mechanisms of evolution and genomic variation relevant to tuberculosis pathogenesis.

Objective. Multiple alignments were used to analyze the differences between six genomes of the *M. tuberculosis* complex and to locate regions of variation that may lead to improvements in species identification or in their treatment.

Materials and methods. The Mauve software package was used to perform a multiple alignment of 6 genomes belonging to the *M. tuberculosis* complex. Regions exclusive to each genome were annotated using the *TB database*.

Results. Percent similarity among the six genomes ranged between 96.1% and 97.8%. The annotation identified intergenic regions, regions associated with transposable elements of the PE-PGRS and PPE families, and regions associated with resistance against bacteriophage.

Conclusions. In spite of the high genetic similarity among the tuberculosis strains, genomic variations were elucidated that may be relevant to differences in behavior and virulence, as well as for improvement of strain diagnosis. Regions encoding membrane-associated proteins, possibly related with antigenic variation and immune response, are particularly interesting for studies aimed at seeking tuberculosis treatments.

Key words: *Mycobacterium tuberculosis*, genomics, tuberculosis.

Mycobacterium, el único género de la familia de las Mycobacteriaceae, incluye patógenos que causan graves enfermedades en los mamíferos, como lepra y tuberculosis (1). *Mycobacterium tuberculosis* es el agente causal de la tuberculosis, una de las enfermedades infectocontagiosas más prevalentes de la historia. En la actualidad, según cifras del informe de 2008 de la Organización Mundial de la Salud, se presentan 9,2 millones de casos nuevos al año (139 por cada 100.000 habitantes) y 1,7 millones de muertes por año (2). En 2006 se estimaron 0,5 millones de casos de tuberculosis multiresistente (2). En Colombia la incidencia de tuberculosis para el 2005 fue de 25,2 casos por cada 100.000 habitantes (3) y en el 2006 se reportaron 11.625 casos nuevos (4).

La gran mayoría de los casos de tuberculosis están relacionados con especies que forman el complejo *Mycobacterium tuberculosis* (*M. tuberculosis*, *M. africanum*, *M. bovis*, *M. microti* y *M. canettii*) (5). Los miembros de este complejo comparten 99,95% de identidad a nivel de ADN (6,7), pero poseen una amplia variabilidad fenotípica en cuanto a sus huéspedes, tipo de enfermedad y gravedad de la enfermedad. En el momento se cuenta con varios genomas secuenciados, lo cual ofrece nuevas oportunidades para estudios de genómica comparativa.

La caracterización morfológica y fisiológica ha sido la estrategia más usada por la comunidad científica para conocer los procesos de patogénesis de importantes microorganismos. Por otra parte, el incremento casi exponencial de la secuenciación de genomas, debido a los bajos costos, ha abierto la posibilidad de comparar genomas.

La genómica comparativa busca encontrar relaciones entre genomas, ya sean distantes o cercanos, a partir de los genomas secuenciados, y tiene el potencial de identificar componentes útiles para entender las relaciones bioquímicas, fisiológicas y patogénicas de los microorganismos (1). La genómica comparativa ha llevado a avances en los campos de la biología evolutiva (8,9), reconstrucción filogenética (1,10,11), programas de descubrimiento de medicamentos

(12,13) y predicción de funciones en genes hipotéticos (14). A esto se le suma la identificación de regiones intrónicas (15), sitios de *splicing* y un mayor conocimiento de regiones no codificadoras (16,17).

La reconstrucción y la comparación de genomas de especies bacterianas han revelado que la organización cromosómica no se conserva a lo largo de la escala evolutiva (18). Un análisis más detallado puede ayudar a inferir relaciones entre las características de organización de los cromosomas y la fisiología celular. Uno de los principales objetivos en los análisis comparativos de los genomas secuenciados es identificar las secuencias que están conservadas entre las diferentes especies comparadas (19). Se han desarrollado poderosos algoritmos con el objetivo de reconstruir las circunstancias de los rearreglos cromosómicos (11,20,21).

Darling y colaboradores crearon en el 2004 un software llamado Mauve, para comparación múltiple de genomas, que identifica regiones genómicas conservadas, rearreglos e inversiones dentro de regiones conservadas y el punto exacto en donde ocurre el punto de quiebre de esos rearreglos genómicos a lo largo de múltiples genomas (22).

En este estudio se usaron alineamientos múltiples con el fin de analizar las diferencias entre genomas pertenecientes al complejo *M. tuberculosis* y encontrar regiones únicas que puedan servir para entender mejor las variaciones entre este grupo de micobacterias.

Materiales y métodos

Microorganismos y genomas

Para el análisis comparativo se usaron las secuencias genómicas ensambladas de las bacterias pertenecientes al complejo *M. tuberculosis*: *M. tuberculosis* CDC1551, *M. tuberculosis* F11, *M. tuberculosis* H37Ra, *M. tuberculosis* H37Rv, *M. bovis* BCG str. Pasteur 1173P2 y *M. bovis* AF2122/97 (cuadro 1). Además de estar completamente secuenciados, ensamblados y anotados, estos genomas se usan como referencia en la anotación de otros genomas del género *Mycobacterium* que están en proceso de secuenciación (1,9).

Alineamiento múltiple de genomas

Para el alineamiento múltiple de genomas se usó el programa Mauve, versión 2.2.0, desarrollado por Darling y colaboradores (22). Los alineamientos

Correspondencia:

María Mercedes Zambrano, Corporación Corpogen, Carrera 5 N° 66A-34, Bogotá, D.C., Colombia
Teléfono: (571) 805 0106; fax (571) 348 4607
mzambrano@corpogen.org

Recibido: 30/01/09; aceptado: 27/07/09

Cuadro 1. Lista de genomas comparados con números de acceso en *RefSeq*, *GenBank*; longitud; procedencia de la secuencia y genes predichos comparados con la cantidad de proteínas anotadas por genoma.

Genoma	Refseq NC	GenBank ID	Longitud (nucleótidos)	Genes/Prot	Origen/ID proyecto
<i>Mycobacterium tuberculosis</i> H37Rv	000962	AL123456	4411532	4048/ 3989	Sanger Institute/224
<i>Mycobacterium tuberculosis</i> H37Ra	009525	CP000611	4419977	4084/4034	ChNGCShanghai*/18883
<i>Mycobacterium tuberculosis</i> CDC1551	002755	AE000516	4403837	4293/4189	TIGR/223
<i>Mycobacterium tuberculosis</i> F11	009565	CP000717	4424435	3998/3941	Broad Institute /15642
<i>Mycobacterium bovis</i> BCG str.	008769	AM408590	4374522	4036/3952	<i>M. bovis</i> Seq.Team**/18059
Pasteur 1173P2					
<i>Mycobacterium bovis</i> AF2122/97	002945	BX248333	4345492	4003/3920	Sanger Institute/89

* Chinese National Human Genome Center at Shanghai

** Mycobacterium bovis sequencing teams.

de los genomas pertenecientes al complejo *M. tuberculosis*, se hicieron usando el algoritmo progresivo de Mauve (*progressive Mauve*) que inicialmente identifica secuencias sucesivas con similitud exacta compartida por dos o más genomas y, junto a una matriz de distancia basada en la conservación genómica, construye un árbol guía. Posteriormente, selecciona subconjuntos de estas secuencias para hacer el anclaje y realizar un alineamiento usando el algoritmo de alineamientos locales MUSCLE (23). Estas regiones alineadas se denominan regiones locales de linealidad y representan una secuencia compartida por dos o más genomas incluidos dentro del alineamiento. Las regiones lineales vecinas se agrupan en bloques locales de linealidad (*locally colinear blocks*, LCB), que están separados por islas genómicas (22).

El alineamiento se realizó usando los siguientes parámetros: peso de la semilla de 15 nucleótidos, determinar LCB, asumir genomas lineales, alineamiento total, refinamiento iterativo y la opción del uso de familias de semilla en el anclaje se dejó desactivada. Se tomaron como archivo de entrada las secuencias organizadas filogenéticamente (1) dentro de un archivo “multifasta” (archivo de texto plano utilizado para representar las secuencias de ácidos nucleicos de cada uno de los genomas), de la siguiente manera: 1) *M. tuberculosis* H37Rv, 2) *M. tuberculosis* H37Ra, 3) *M. tuberculosis* CDC1551, 4) *M. tuberculosis* F11, 5) *M. bovis* BCG y 6) *M. bovis* AF2122/97. El análisis posterior se realizó utilizando el archivo de salida *backbone*, que relaciona los LCB presentes en dos o más genomas, identificando las coordenadas de nucleótidos de cada LCB.

Con el objetivo de extraer e identificar las regiones únicas por genoma, se desarrollaron herramientas bioinformáticas utilizando lenguaje de programación

Perl y se utilizó la herramienta *extractseq*, disponible en el paquete de libre acceso EMBOSS, versión 5.0.0, (<http://bioinfo.hku.hk/EMBOSS>, European Molecular Biology Open Software Suite), para la extracción de secuencias.

La identificación de las regiones exclusivas o islas genómicas para cada uno de los genomas, se hizo empleando la anotación disponible en la base de datos de tuberculosis del Instituto Broad y la Escuela de Medicina de Stanford (www.tbdb.org).

En *Tuberculosis Database* se encuentran anotados algunos genomas de micobacterias; en el menú desplegable *TB Genomes* se accedió a la opción *Download Sequence Data* y se descargó por cada genoma analizado el archivo *genome_summary_per_gene.txt* que contiene la anotación completa de cada genoma. Se compararon las coordenadas de los LCB con las coordenadas de la anotación de cada genoma disponible en el archivo mencionado anteriormente, para identificar la posición de la región analizada.

Resultados

Matriz de distancias

El algoritmo progresivo usado para hacer las comparaciones genómicas inicialmente construye una matriz de conservación entre los genomas del complejo *M. tuberculosis* que refleja la similitud entre pares de genomas, en la que valores cercanos a 0 significan gran similitud (22).

A partir de dicha matriz se generó un gráfico en que se observa el grado de similitud de cada genoma estudiado en relación con los otros (figura 1). Cada vértice del hexágono representa un genoma y cada línea representa la similitud genética frente a los otros genomas estudiados. De esta manera, las líneas de *M. tuberculosis* H37Rv y *M. tuberculosis*

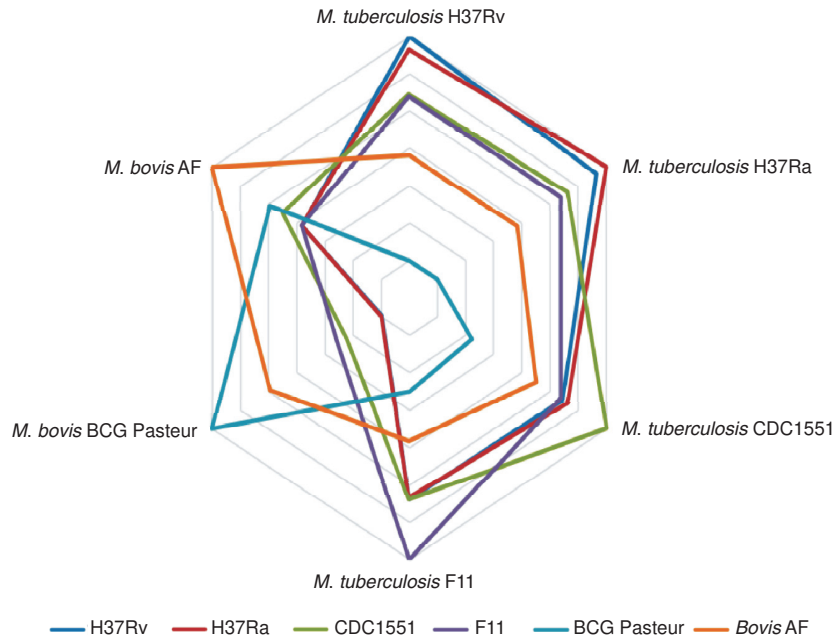


Figura 1. Representación gráfica elaborada a partir de la matriz de distancias para seis genomas del complejo *M. tuberculosis*, en donde cada vértice del hexágono representa un genoma y las líneas reflejan la similitud existente entre los genomas analizados. Se observa un patrón formado por *M. tuberculosis* H37Rv, *M. tuberculosis* H37Ra, *M. tuberculosis* CDC1551 y *M. tuberculosis* F11, que sugiere un alto grado de similitud entre dichos genomas; se observan otros dos patrones diferentes para *M. bovis* AF y *M. bovis* BGC Pasteur, que reflejan la poca similitud entre dichos genomas y comparados con el resto.

H37Ra son comparables, lo que significa que genómicamente son similares.

Por otra parte, los genomas de *M. bovis* BCG y *M. bovis* AF son los más divergentes con respecto a los demás genomas del complejo (figura 1). Con base en esta información, es posible definir dos grupos: uno formado por los genomas de *M. tuberculosis* H37Rv, *M. tuberculosis* H37Ra, *M. tuberculosis* CDC1551 y *M. tuberculosis* F11, y el otro formado por *M. bovis* BCG str. Pasteur 1173P2 y *M. bovis* AF2122/9.

Bloques locales de linealidad

Se encontró un total de 684 LCB (cuadro 2), agrupados en un bloque de linealidad, de los cuales, 267 están presentes en todos los genomas. Al sumar la longitud de los LCB encontrados en cada genoma y comparar este valor con la longitud del genoma correspondiente, se encontró que estas regiones comunes cubrían entre 96,1% y 97,8% de cada genoma analizado (cuadro 2).

Identificación de regiones

Se hallaron 417 regiones variables dentro del alineamiento. Éstas son regiones que se encuentran en un genoma o grupo de genomas determinados y no en otros.

De la información del archivo de salida *backbone* se identificaron las regiones exclusivas de cada genoma: 9 regiones para *M. tuberculosis* H37Rv, 7 para *M. tuberculosis* H37Ra, 21 para *M. tuberculosis* CDC1551, 40 para *M. tuberculosis* F11, 27 para *M. bovis* BCG y 20 para *M. bovis* AF2122/97, que suman 124 regiones exclusivas.

El análisis de los genes presentes en estas regiones demostró la presencia de elementos de transposición, proteínas pertenecientes a las familias PPE, PE-PGRS y regiones intergénicas, como se observa en la figura 2. El cuadro 3 muestra algunas de las regiones exclusivas identificadas para cada genoma y su descripción. Las tablas con la información completa de los resultados, incluyendo LCB y regiones exclusivas, así como las herramientas bioinformáticas desarrolladas están disponibles por solicitud directa.

Discusión

La genómica comparativa permite acercarse de una manera global a la biología, fisiología, patogénesis y virulencia de especies genómicamente relacionadas (24-26). Esto se hace posible gracias al acceso a genomas de especies muy relacionadas que, a su vez, acelera la anotación funcional de nuevos genomas. Field y colaboradores agruparon en el

Cuadro 2. Datos del alineamiento múltiple para seis genomas del complejo *M. tuberculosis*.

Genoma	aLCB	bRegiones únicas	cPorcentaje respecto a genoma		dRegiones ausentes (eTotal regiones)
			Regiones únicas	LCB	
<i>Mycobacterium tuberculosis</i> H37Rv	539	9	0,066	96,4	4 (228 nt)
<i>Mycobacterium tuberculosis</i> H37Ra	544	7	0,069	96,2	6 (684 nt)
<i>Mycobacterium tuberculosis</i> CDC1551	513	21	0,322	96,5	34 (6.531 nt)
<i>Mycobacterium tuberculosis</i> F11	509	40	0,644	96,1	30 (3.864 nt)
<i>Mycobacterium bovis</i> BCG str. Pasteur 1173P2	503	27	0,889	97,2	40 (3.201 nt)
<i>Mycobacterium bovis</i> AF2122/97	512	20	0,295	97,8	22 (4.797 nt)

a LCB: bloques locales lineales totales por genoma, regiones que están presentes en dos o más de los genomas comparados

b Regiones únicas: regiones únicas por genoma

c Porcentaje respecto a genoma: relación porcentual entre las regiones únicas o los LCB con respecto al tamaño total de cada genoma analizado

d Regiones ausentes: regiones ausentes en el genoma y presentes en los otros 5 genomas

e Total regiones: suma del número de nucleótidos del tamaño de las regiones ausentes

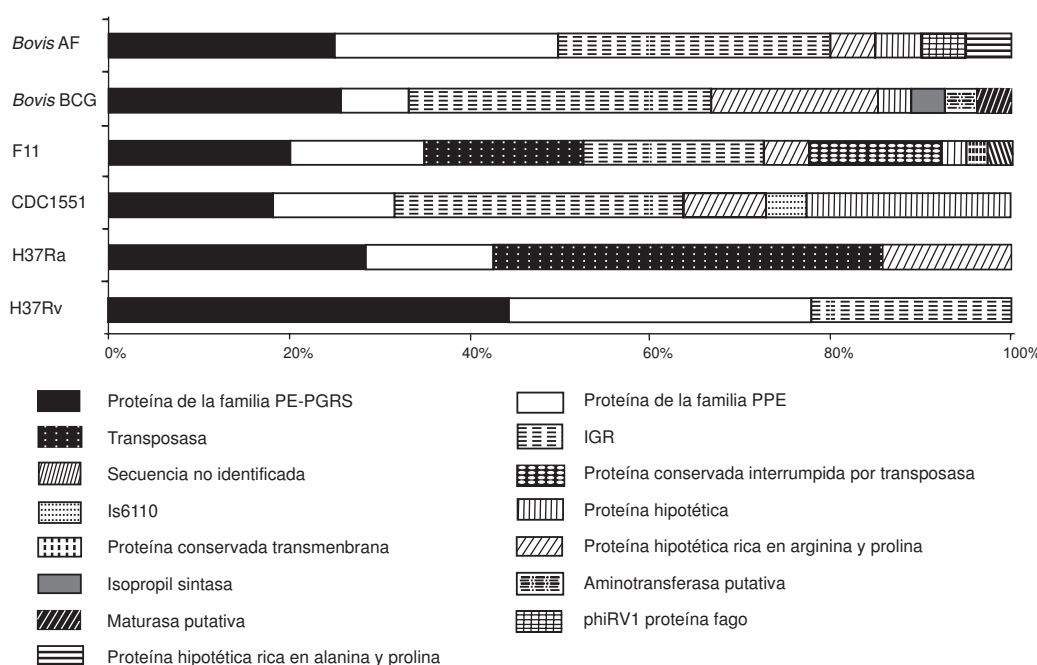


Figura 2. Representación gráfica de las regiones exclusivas identificadas para los genomas comparados en este estudio. Se muestran los grupos funcionales en cantidades porcentuales según su aparición: en negro y blanco, los genes codificadores para las proteínas pertenecientes a la familia PE-PGRS y PPE, que revelan una fuente de variación importante dentro de los genomas comparados; en líneas discontinuas, las regiones intergénicas (IGR) y en líneas diagonales las regiones asociadas a transposasas.

2005 los genomas secuenciados en dos grupos (26). El primero de ellos está conformado por los genomas anotados y disponibles en las bases de datos primarias y el segundo, por los genomas secundarios que se derivan de los primarios ya que están relacionados por semejanza taxonómica y afinidad de nicho ecológico.

Mediante aproximaciones genómicas, como hibridaciones ADN-ADN, arreglos en cromosomas bacterianos artificiales, hibridación sustractiva de genomas (6,27,28) y marcadores moleculares (8), se ha reportado que el grado de similitud entre especies del complejo *M. tuberculosis* es cercano a 99,95%.

Otros grupos han realizado comparaciones de genomas completos y concluyen que el grado de variación es mayor del que se creía (7,29); estas variaciones incluyen inserciones, delecciones, polimorfismos de secuencia larga y polimorfismos de nucleótido simple, entre otros. Sin embargo, en estos reportes no se propone un porcentaje de similitud específico.

En el presente trabajo se hizo una comparación entre múltiples genomas del complejo *M. tuberculosis* y fue posible observar que todos se agruparon en un bloque lineal general, lo que valida la información sobre la poca variabilidad genética dentro del complejo. Sin embargo, es importante anotar que aunque las aproximaciones genómicas *in vitro* arrojaron semejanzas mayores de 99%, la similitud entre las seis especies del complejo analizadas en este trabajo, con base en la identificación de LCB comunes, no supera el 98%.

Con base en los resultados de este análisis comparativo, encontramos que la variación entre los genomas del complejo *M. tuberculosis* se encuentra cerca del 2%; posiblemente, esto se deba a que se incluyen seis genomas en la comparación, a diferencia de estrategias empleadas por otros grupos en las que se hacen únicamente comparaciones entre dos genomas.

Las diferencias encontradas entre nuestros resultados y los resultados reportados para hibridaciones, cromosomas bacterianos artificiales y marcadores moleculares, se deben a las características propias de cada metodología. Técnicas moleculares como la hibridación sustractiva se han considerado de baja resolución (7), ya que dependen de variables como la correcta restricción y sustracción de los genomas. La ventaja de los alineamientos entre genomas es que se manejan pocas variables y, en nuestro caso específico, no sólo se comparan parejas de genomas sino que se comparan seis genomas a la vez, incluyendo así información valiosa que no se ha incluido en estudios de análisis pareados.

A pesar de la poca variación entre las especies del complejo *M. tuberculosis*, existe variabilidad representada por mutaciones puntuales, polimorfismos largos y eventos de inserción y transposición (1,8,17). Estas diferencias genotípicas, a su vez, pueden resultar en cambios fenotípicos grandes. La representación gráfica (figura 1) de las diferencias entre los genomas analizados revela la presencia de dos grupos.

La agrupación *M. tuberculosis* H37Rv, *M. tuberculosis* H37Ra, *M. tuberculosis* CDC1551 y *M. tuberculosis* F11, concuerda con estudios filogenéticos basados en 16S ADNr que agrupan a los tres primeros microorganismos dentro del mismo conglomerado y, asociado a ellos, al último de los genomas anteriormente mencionado (1).

Este análisis ubicó a *M. tuberculosis* H37Rv y *M. tuberculosis* CDC1551 en posiciones cercanas y separó a *M. bovis* BCG str. Pasteur 1173P2 y *M. bovis* AF2122/9, cepas con un patrón de distancias diferente al ser comparado con los demás genomas.

Estas agrupaciones son coherentes con análisis anteriores que encontraron diferencias entre los genomas de *M. tuberculosis* H37Rv y *M. bovis* BCG debido a rearreglos en la región de repeticiones directas, que es la base para genotipificar las bacterias pertenecientes al complejo *M. tuberculosis* (1), y con el análisis filogenético de las secuencias codificadoras interrumpidas para cuatro genomas pertenecientes al complejo (10).

La comparación entre genomas demostró la gran similitud existente entre *M. tuberculosis* H37Ra y H37Rv (figura 1), genomas que, además, contienen pocas regiones exclusivas, 9 y 7, respectivamente, también llamadas islas genómicas por algunos autores (30,31). La anotación de estas islas genómicas demostró la presencia de elementos de transposición, familias de proteínas PPE y PE-PGRS, y regiones intergénicas (cuadro 3).

El alto grado de similitud entre estas dos cepas ha sido reportado por Zeng y colaboradores, quienes también hallaron variaciones en regiones PE/PPE/PE-PGRS y demostraron que las diferencias radican en 53 inserciones y 21 delecciones (9). Las proteínas de las familias PPE y PE-PGRS se han encontrado en la pared celular de las micobacterias (32) y se han implicado en variación antigénica y evasión de la respuesta inmune (33). A su vez, las regiones intergénicas también pueden alterar la regulación de la expresión de genes adyacentes, generando cambios fenotípicos (9).

El análisis detallado de algunas de las regiones únicas para cada genoma reveló aspectos interesantes para futuras investigaciones. Una de las regiones exclusivas para *M. tuberculosis* CDC1551 contenía el elemento de inserción IS6110 y una región CRISPR, región de la cual no se sabe mucho en el complejo *M. tuberculosis*, pero que ha despertado gran interés recientemente puesto que

Cuadro 3. Selección de algunos genes de interés de cada genoma.

Genomas	R/IGR	Extremo derecho	Extremo izquierdo	Genes relacionados con la región exclusiva
H37Rv	R	336680	336696	Familia PE-PGRS
	IGR	3415180	3415195	Glutaredoxina (proteína transportadora de electrones) - Proteína hipotética C conservada
	R	3948929	3949531	Familia PE-PGRS
H37Ra	IGR	13622	14981	Transposasa - Proteína hipotética conservada
	R	3944323	3944351	Familia PE-PGRS
	NB	4061598	4061614	Secuencia no similar
CDC1551	IGR	483383	484742	Proteína de membrana familia MmpL - IS6110
	NB	3049636	3049639	Secuencia no similar
	IGR	3117061	3117097	IS6110 - Proteína hipotética - CRISPR (Cas2)
	R	3929012	3929583	Familia PE-PGRS
	R	3940685	3940713	Familia PE-PGRS
F11	R	427179	427243	Proteína de choque térmico represor transcripcional hspR (merR family) - PE-PGRS
	IGR	934661	936020	TransposasaX3 - Proteína hipotética
	R	1945991	1947350	Proteína hipotética interrumpida desde TBFG_11738 por 2 transposasas
	R	1992331	1993714	Cutinasa (cut1) (interrumpida desde TBFG_11779 por 2 transposasas)
	R	2070270	2070315	Familia PE-PGRS
	R	2349288	2350647	Proteína transmembrana conservada
	R	3961318	3961358	Familia PE-PGRS
	R	4065847	4065959	Proteína hipotética rica en argininas y prolinas
Bovis BCG	R	109200	109237	Maturasa putativa
	R	1244678	1244824	Familia PE-PGRS
	NB	1364205	1364207	Secuencia no similar
	IGR	3245467	3245525	Lipoproteína putativa - PKS putativa
	R	4128575	4128975	2-isopropilmalato sintasa
Bovis AF	IGR	581819	581950	Sensor putativo, sistema 2, componentes histidin quinasa SENX3 – REGX3
	R	1764632	1773882	Proteína probable fago phiRV1
	R	2156318	2156544	Familia PPE
	R	4295497	4295543	Proteína hipotética rica en alanina y prolina

R: región proveniente del alineamiento múltiple que ocupó un lugar dentro de un gen específico

IGR: región proveniente del alineamiento que se ubicó dentro de dos genes

NB: región proveniente del alineamiento múltiple que no se encontraba anotada

Extremo derecho y extremo izquierdo: ubicación exacta de la región exclusiva dentro del genoma

se ha encontrado asociada a resistencia contra bacteriófagos en diversas especies bacterianas (34-36).

El análisis de *M. tuberculosis* F11 reveló, a su vez, una gran cantidad de regiones asociadas con elementos de inserción. Estos elementos están asociados con la generación de variabilidad genómica (37) y, en ocasiones, como cuando interrumpen un marco de lectura determinado o alteran expresión de genes adyacentes, pueden occasionar profundos efectos sobre el fenotipo (37,38).

Algunas de las regiones exclusivas para *M. bovis* BCG y AF2122 se encontraron dentro de un marco abierto de lectura, lo que podría verse reflejado en cambios de las proteínas resultantes. En *M. bovis* AF2122 se encuentra una región exclusiva situada en regiones intergénicas entre dos proteínas asociadas a un sistema de dos componentes

SenX3 y *RegX3* (cuadro 3); esta región puede ser regulada por ARN no codificadores.

La comparación de múltiples genomas también reveló la existencia de extensas regiones conservadas, que sugieren la presencia de secuencias sujetas a fuertes presiones de selección. Así mismo, se detectaron rearreglos grandes debidos a la presencia del fago phiRv1, lo cual coincide con estudios anteriores (39).

La genómica comparativa es una herramienta poderosa que permite hacer un análisis detallado de las diferencias genómicas entre cepas cercanamente relacionadas, como las del complejo *M. tuberculosis*. Este tipo de análisis *in silico* puede, por consiguiente, contribuir a la identificación y clasificación filogenética de especies, al conocimiento de los mecanismos de evolución de las micobacterias del complejo *M. tuberculosis* y a la posible identificación de

regiones únicas que puedan estar asociadas con diferencias fenotípicas.

La evolución del complejo es de gran interés desde el punto de vista de su adaptación al huésped y el desarrollo de su patogénesis, mientras que un mayor conocimiento acerca de las regiones y proteínas exclusivas podría conducir a un mejor entendimiento de la patogénesis de este microorganismo y a la posible identificación de nuevos blancos para tratamientos.

En este trabajo, con la genómica comparativa se encontró que la similitud entre los seis genomas analizados no supera el 98% (cuadro 2) y que las variaciones identificadas se deben en gran parte a la presencia de regiones asociadas a elementos de transposición, familias de proteínas PPE y PE-PGRS y regiones intergénicas (figura 2 y cuadro 3). También se encontraron regiones exclusivas para cada genoma, que pueden servir de base para análisis futuros más detallados que puedan conducir a la posible identificación de secuencias o proteínas interesantes para entender diferencias fenotípicas, como virulencia de cepas del complejo *M. tuberculosis*, y relacionar cambios genómicos con la biología del microorganismo.

Agradecimientos

Los autores agradecen a Alan Durham, del Instituto de Matemáticas y Estadística de la Universidad de São Paulo, por su asesoría en el desarrollo bioinformático, y a Andrés Cubillos de la Corporación Corpogen, por sus ideas para el desarrollo de este estudio y la revisión y corrección de este artículo.

Conflicto de intereses

Declaramos que la investigación a partir de la cual se originó el presente manuscrito no presenta conflictos de intereses.

Financiación

Este trabajo fue financiado por la Facultad de Ciencias de Universidad de los Andes (convocatoria 2008-2), Corporación Corpogen y Colciencias (Proyecto No. 6570-408-20410).

Referencias

1. Brosch R, Pym A, Gordon S, Cole S. The evolution of mycobacterial pathogenicity: clues from comparative genomics. *Trends Microbiol*. 2001;9:454-8.
2. World Health Organization. WHO report 2008. Global tuberculosis control. 2008. Fecha de consulta: 2 de octubre 2008. Disponible en: http://www.who.int/tb/publications/global_report/2008/en/
3. Garzón M, Angée D, Llerena C, Orjuela D, Victoria J. Vigilancia de la resistencia de *Mycobacterium tuberculosis* a los fármacos antituberculosos, Colombia 2004-2005. *Biomédica*. 2008;28:319-6.
4. Ministerio de la Protección Social, Organización Panamericana de la Salud. Situación de salud en Colombia. Indicadores básicos. Bogotá, D.C.: Ministerio de la Protección Social; 2006.
5. Tiruviluamala P, Reichman LB. Tuberculosis. *Annu Rev Public Health*. 2002;23:403-26.
6. Imaeda T. Deoxyribonucleic acid relatedness among selected strains of *Mycobacterium tuberculosis*, *Mycobacterium bovis*, *Mycobacterium bovis* BCG, *Mycobacterium micoti* and *Mycobacterium africanum*. *Int J Syst Bacteriol*. 1985;35:147-50.
7. Fleischmann R, Alland D, Eisen J, Carpenter L, White O, Peterson J, et al. Whole-genome comparison of *Mycobacterium tuberculosis* clinical and laboratory strains. *J Bacteriol*. 2002;184:5479-90.
8. Sreevatsan S, Pan X, Stockbauer K, Connell N, Kreiswirth B, Whittam T, et al. Restricted structural gene polymorphism in the *Mycobacterium tuberculosis* complex indicates evolutionarily recent global dissemination. *Proc Natl Acad Sci USA*. 1997;94:9869-74.
9. Zheng H, Lu L, Wang B, Pu S, Zhang X, Zhu G, et al. Genetic basis of virulence attenuation revealed by comparative genomic analysis of *Mycobacterium tuberculosis* strain H37Ra versus H37Rv. *PLoS One*. 2008;3:e2375.
10. Deshayes C, Perrodou E, Euphrasie D, Frapé E, Poch O, Bifani P, et al. Detecting the molecular scars of evolution in the *Mycobacterium tuberculosis* complex by analyzing interrupted coding sequences. *BMC Evol Biol*. 2008;8:78.
11. Tang J, Moret BM. Scaling up accurate phylogenetic reconstruction from gene-order data. *Bioinformatics*. 2003;19(Suppl.1):i305-12.
12. De Groot A, Bosma A, Chinai N, Frost J, Jesdale B, Gonzalez M, et al. From genome to vaccine: *in silico* predictions, *ex vivo* verification. *Vaccine*. 2001;19:4385-95.
13. Mustafa A. Development of new vaccines and diagnostic reagents against tuberculosis. *Mol Immunol*. 2002;39:113-9.
14. Raman K, Yetura K, Chandra N. targetTB: a target identification pipeline for *Mycobacterium tuberculosis* through an interactome, reactome and genome-scale structural analysis. *BMC Syst Biol*. 2008;2:109.
15. Morris R, Drouin G. Similar ectopic gene conversion frequencies in the backbone genome of pathogenic and nonpathogenic *Escherichia coli* Strains. *Genomics*. 2008;92:168-72.
16. Azhikina T, Gvozdevsky N, Botvinnik A, Fushan A, Shemyakin I, Shemyakin V, et al. A genome-wide sequence-independent comparative analysis of insertion-deletion polymorphisms in multiple *Mycobacterium tuberculosis* strains. *Res Microbiol*. 2006;157:282-90.
17. Wang X, Galamba A, Warner D, Soetaert K, Merkel J, Kalai M, et al. IS1096-mediated DNA rearrangements play a key role in genome evolution of *Mycobacterium smegmatis*. *Tuberculosis (Edinb)*. 2008;88:399-409.

18. Fremez R, Faraut T, Fichant T, Gouzy J, Quentin Y. Phylogenetic exploration of bacterial genomic rearrangements. *Bioinformatics*. 2007;23:72-4.
19. Vishnoi A, Roy R, Bhattacharya A. Comparative analysis of bacterial genomes: identification of divergent regions in mycobacterial strains using an anchor-based approach. *Nucleic Acids Res.* 2007;35:3654-67.
20. Bourque G, Pevzner PA. Genome-scale evolution: reconstructing gene orders in the ancestral species. *Genome Res.* 2002;12:26-36.
21. Moret BM, Wyman S, Bader DA, Warnow T, Yan M. A new implementation and detailed study of breakpoint analysis. *Pac Symp Biocomput.* 2001:583-94.
22. Darling A, Mau B, Blatter F, Perna N. Mauve: multiple alignment of conserved genomic sequence with rearrangements. *Genome Res.* 2004;14:1394-403.
23. Edgar RC. MUSCLE: a multiple sequence alignment method with reduced time and space complexity. *BMC Bioinformatics*. 2004;5:113.
24. Domenech P, Barry C, Cole S. *Mycobacterium tuberculosis* in the post-genomic age. *Curr Opin Microbiol.* 2001;4:28-34.
25. Malik A, Godfrey-Faussett P. Effects of genetic variability of *Mycobacterium tuberculosis* strains on the presentation of disease. *Lancet Infect Dis.* 2005;5:174-83.
26. Field D, Feil E, Wilson G. Databases and software for the comparison of prokaryotic genomes. *Microbiology*. 2005;151:2125-32.
27. Gordon S, Brosch R, Billault A, Garnier T, Eiglmeier K, Cole S. Identification of variable regions in the genomes of tubercle bacilli using bacterial artificial chromosome arrays. *Mol Microbiol.* 1999;32:643-56.
28. Mahairas G. Molecular analysis of genetic differences between *Mycobacterium bovis* BCG and virulent *M. bovis*. *J Bacteriol.* 1996;178:1274-82.
29. Garnier T, Eiglmeier K, Camus J, Medina N, Mansoor H, Pryor M, et al. The complete genome sequence of *Mycobacterium bovis*. *Proc Natl Acad Sci USA.* 2003;100:7877-82.
30. Ou H, Chen L, Lonnemann J, Chaudhuri R, Thani A, Smith R, et al. A novel strategy for the identification of genomic islands by comparative analysis of the contents and contexts of tRNA sites in closely related bacteria. *Nucleic Acids Res.* 2006;34:1e3.
31. Jang J, Becq J, Gicquel B, Deschavanne P, Neyrolles O. Horizontally acquired genomic islands in the tubercle bacilli. *Trends Microbiol.* 2008;16:303-8.
32. Delogu G, Pusceddu C, Bua A, Fadda G, Brennan M, Zanetti S. Rv1818c-encoded PE-PGRS protein of *Mycobacterium tuberculosis* is surface exposed and influences bacterial cell structure. *Mol Microbiol.* 2004;52:725-33.
33. Banu S, Honore N, Saint-Joanis B, Philpott D, Prevost MC. Are the PE-PGRS proteins of *Mycobacterium tuberculosis* variable surface antigens? *Mol Microbiol.* 2002;44:9-19.
34. Brouns S, Jore M, Lundgren M, Westra E, Slijkhuis R, Snijders A, et al. Small CRISPR RNAs guide antiviral defense in prokaryotes. *Science.* 2008;321:960-3.
35. Barrangou R, Fremaux, C, Deveau H, Richards M, Boyaval P, Moineau S, et al. CRISPR provides acquired resistance against viruses in prokaryotes. *Science.* 2007;315:1709-12.
36. Sorek R, Kunin V, Hugenholtz P. CRISPR- a widespread system that provides acquired resistance against phages in bacteria and archaea. *Nat Rev Microbiol.* 2008;6:181-6.
37. Darling A, Miklos I, Ragan M. Dynamics of genome rearrangement in bacterial populations. *PLoS Genet.* 2008;4:e1000128.
38. Soto C, Menéndez M, Pérez E, Samper S, Gómez S, García M, et al. IS6110 mediates increased transcription of the *phoP* virulence gene in a multidrug-resistant clinical isolate responsible for tuberculosis outbreaks. *J Clin Microbiol.* 2004;42:212-9.
39. Cubillos-Ruiz A, Morales JP, Zambrano MM. Analysis of the genetic variation in *Mycobacterium tuberculosis* strains by multiple genome alignments. *BMC Res Notes.* 2008;1:110.